

**ОПТИЧЕСКИЕ ИССЛЕДОВАНИЯ
ТУРБУЛЕНТНЫХ ЭЛЕКТРОСТАТИЧЕСКИХ КОЛЕБАНИЙ,
ВОЗНИКАЮЩИХ ПРИ ВЗАИМОДЕЙСТВИИ ПЛАЗМЕННОГО ПОТОКА
С ЧАСТИЧНО ИОНИЗОВАННЫМ ГАЗОМ**

***В.И.Пистунович, В.В.Платонов, В.Д.Рюков,
Е.А.Филимонова***

Измерена величина турбулентных электрических полей, возникающих при взаимодействии ионного потока с плазмой, по интенсивности запрещенных линий нейтрального гелия и штарковскому уширению линий атома водорода.

В ранее описанных экспериментах [1, 2] по перезарядке плазменного потока в газообразных мишенях было показано наличие аномального

рассеяния ионов потока в мишени. Зависимость эффекта от зарядового состояния потока и его пороговый характер свидетельствовали о раскачке неустойчивых колебаний при взаимодействии плазменной струи с ионизированной мишенью.

Данная работа посвящена определению величин электрических полей колебаний, ответственных за рассеяние ионов потока, по интенсивности запрещенных линий нейтрального гелия [3] и по штарковскому уширению линий атома водорода [4]. Параметры плазменного сгустка и мишени в точке наблюдения были следующими: плотность сгустка $n_b \approx 2,5 \cdot 10^{14} \text{ см}^{-3}$, его скорость $v \approx 7 \cdot 10^7 \text{ см/сек}$, длительность процесса взаимодействия $\sim 1 \text{ мксек}$; плотность гелиевой мишени $n_o \approx 4 \cdot 10^{14} \text{ см}^{-3}$; плотность водородной мишени $n_o \approx 1,2 \cdot 10^{14} \text{ см}^{-3}$. Спектральный анализ излучения из области взаимодействия проводился с помощью монохроматора ВМС-1 с фотоэлектрической регистрацией, расположенного почти перпендикулярно к направлению движения потока.

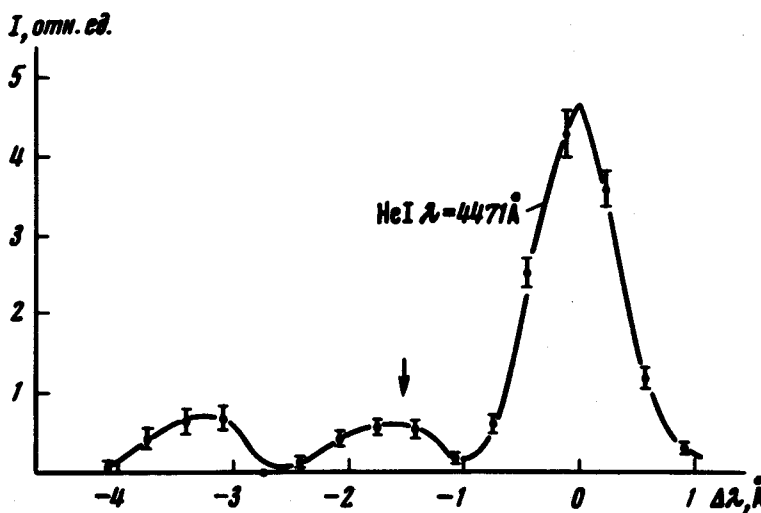


Рис. 1. Профиль линии нейтрального гелия с длиной волны 4471 Å

На рис. 1 показан участок спектра излучения вблизи линии HeI с длиной волны 4471 Å. Четко видны разрешенная линия ($\Delta\lambda = 0$) и два всплеска излучения в более коротковолновой области, положение одного из которых практически совпадает с расчетным положением запрещенной линии, обозначенным стрелкой. Кроме запрещенной линии в спектре возник ее " дальний" сателлит, расстояние между которым и запрещенной линией соответствует частоте колебаний $\omega \approx 1,4 \cdot 10^{12} \text{ сек}^{-1}$. Отметим, что эта частота близка к плазменной электронной частоте ω_{pe} . Отсутствие в спектре "ближнего" сателлита может быть связано с тем, что в условиях нашего эксперимента его положение совпадает с разрешенной линией и это, видимо, приводит к ее аномальному уширению. Значительную полуширину разрешенной линии ($\Delta\lambda_{0,5} = 0,8 \text{ \AA}$) невозможно объяснить допплеровским уширением, так как полуширина линии HeI с $\lambda = 6678 \text{ \AA}$, полученная в тех же условиях, оказывается вдвое меньшей. •

Наличие в спектре кроме запрещенной линии, за появление которой ответственны квазистационарные, видимо ионно-звуковые, колебания, еще и одного из ее сателлитов свидетельствует о том, что при взаимодействии плазменного сгустка с ионизованной гелиевой мишенью происходит возбуждение и электронных ленгмюровских колебаний.

Вычисляя отношение интегральных интенсивностей запрещенной линии и ее сателлита к интегральной интенсивности разрешенной линии, можно рассчитать величины электрических полей ионно-звуковых и электронных ленгмюровских пульсаций [3]. В условиях нашего эксперимента они оказались равны ≈ 12 и 27 кв/см соответственно.

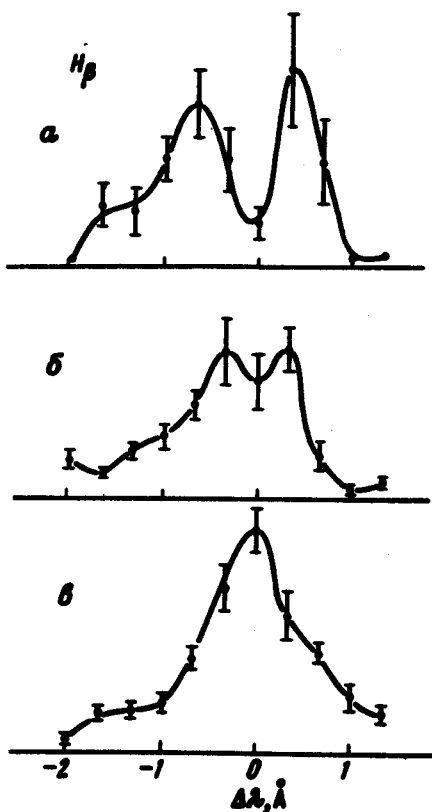


Рис. 2. Профили линии атома водорода H_B в различные моменты времени: *а* и *б* – последовательные моменты активного взаимодействия ионного потока с плазмой; *в* – момент времени после пролета сгустка

Процесс взаимодействия плазменного потока с водородной мишенью исследовался по штарковскому уширению водородных линий H_B и H_a . На рис. 2 и 3 представлены профили спектральных линий водорода H_B и H_a для различных моментов времени. Видно, как линия H_B в период пролета сгустка через ионизированную мишень расщепилась в полях квазистационарных колебаний (рис. 2, *а*, *б*), причем величина электрического поля этих колебаний равна $\approx 14 \text{ кв/см}$ [4]. Линия H_a на этой стадии взаимодействия также уширилась, однако ее полуширина оказалась меньшей, чем у H_B (рис. 3, *а*, *б*). Если предположить, что уширение линии H_a связано с развитием в плазме ленгмюровских электронных колебаний, что подтверждается существованием сателлита запрещен-

ной линии нейтрального гелия, то по результатам работы [4] можно оценить электрические поля этих высокочастотных осцилляций — $E \approx 25 \text{ кв/см}$. Отметим также явную асимметрию профилей линий H_β и H_α (рис. 2, *a*, *b* и 3, *a*, *b*) на активной стадии процесса, что возможно связано со сносовым характером возбуждаемых колебаний.

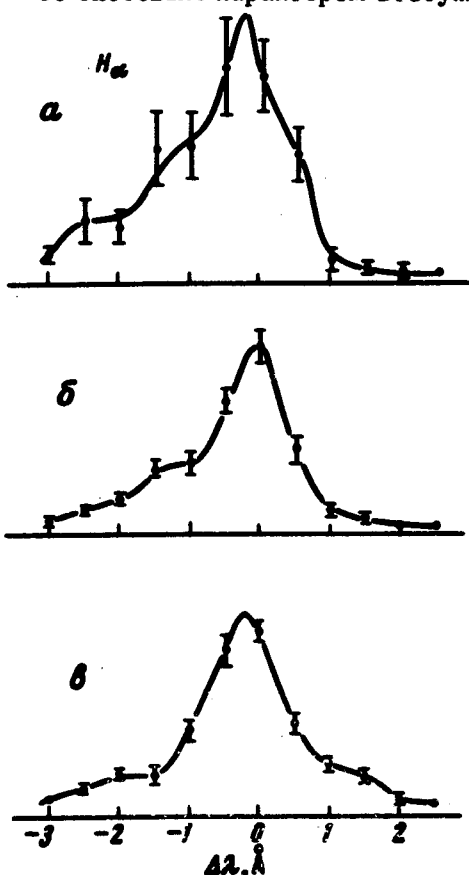


Рис. 3. Профили линии H_α в те же моменты времени

После пролета сгустка начинает преобладать допплеровский механизм, уширения, так как полуширина линии H_α становится больше, чем у H_β (рис. 2, *a*, 3*a*). Причем температура атомов разлетающейся мишени достигает величины $T \approx 5 \text{ эв}$.

Дополнительные зондовые измерения показали, что постоянные (порядка длительности процесса) электрические поля не могут быть ответственными за наблюдаемое расщепление линии H_β и появление запрещенной линии гелия, ибо их величина не превосходит $0,1 \text{ кв/см}$.

Совокупность полученных результатов позволяет сделать вывод о том, что в зоне перезарядки плазменного потока возбуждаются интенсивные ионно-звуковые колебания с частотами $\omega \lesssim \omega_{pi}$, ответственные за рассеяние ионов сгустка, и электронные ленгмюровские колебания, роль которых сводится, по-видимому, к нагреву электронов плазмы.

В заключение авторы благодарят Г.В.Шолина за ценные обсуждения.

Поступила в редакцию
22 ноября 1975 г.

Литература

- [1] К.Б.Карташев, В.И.Пистунович, В.В.Платонов, В.Д.Рютов, Е.А.Филимонова. Письма в ЖЭТФ, 19, 493, 1974.
 - [2] К.Б.Карташев, В.И.Пистунович, В.В.Платонов, В.Д.Рютов, Е.А.Филимонова. Физика плазмы, 1, вып. 5. 1975.
 - [3] M. Vaganger, B. Mozer. Phys. Rev. 123, 25, 1961.
 - [4] С.П.Загородников, Г.Е.Смолкин, Е.А.Стриганова, Г.В.Шолин. Диагностика плазмы, Москва, 1973, стр. 45.
-